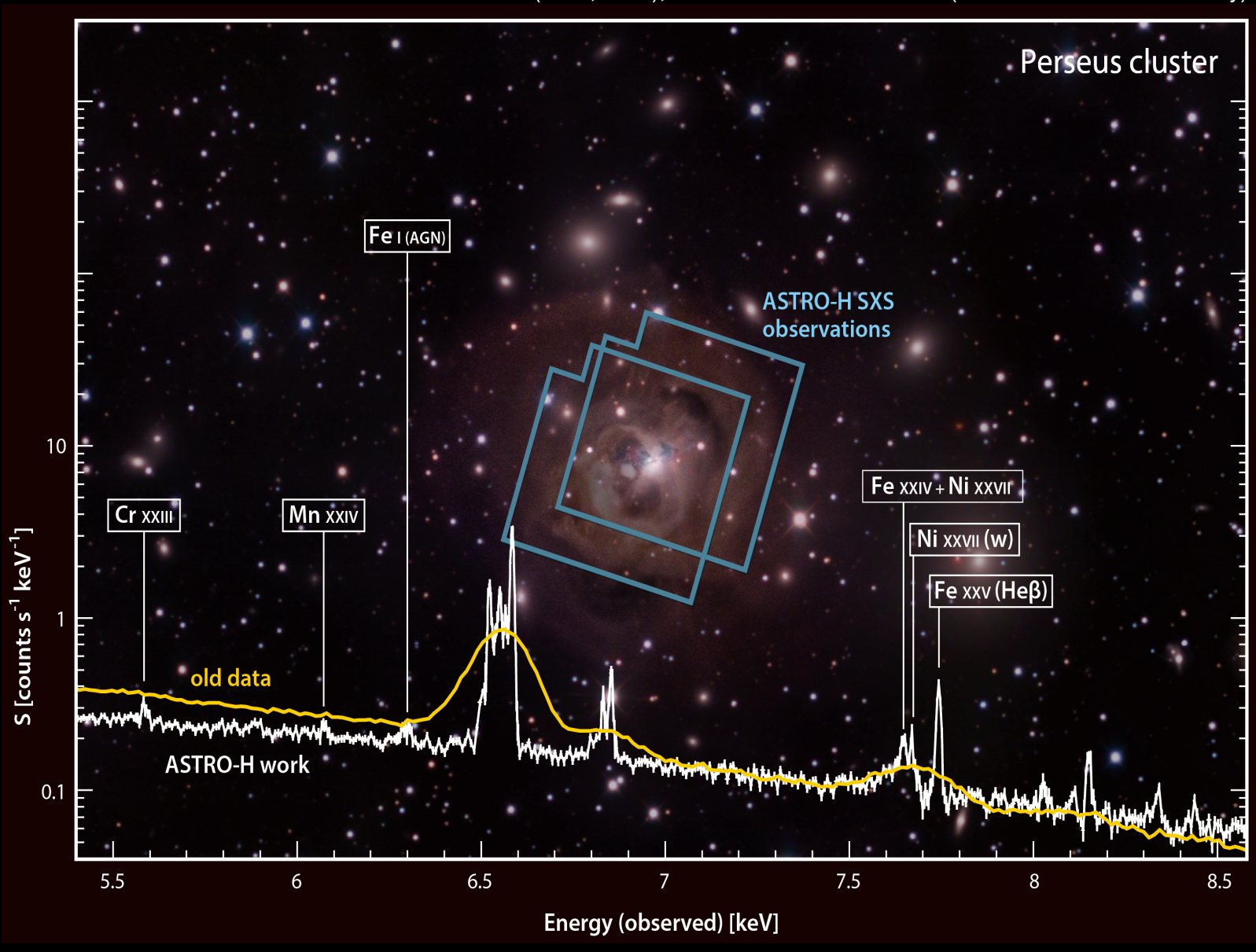


2025年8月5日 東北大学 天文学教室 野田 博文

X線天文衛星「ひとみ」で実現された精密X線分光

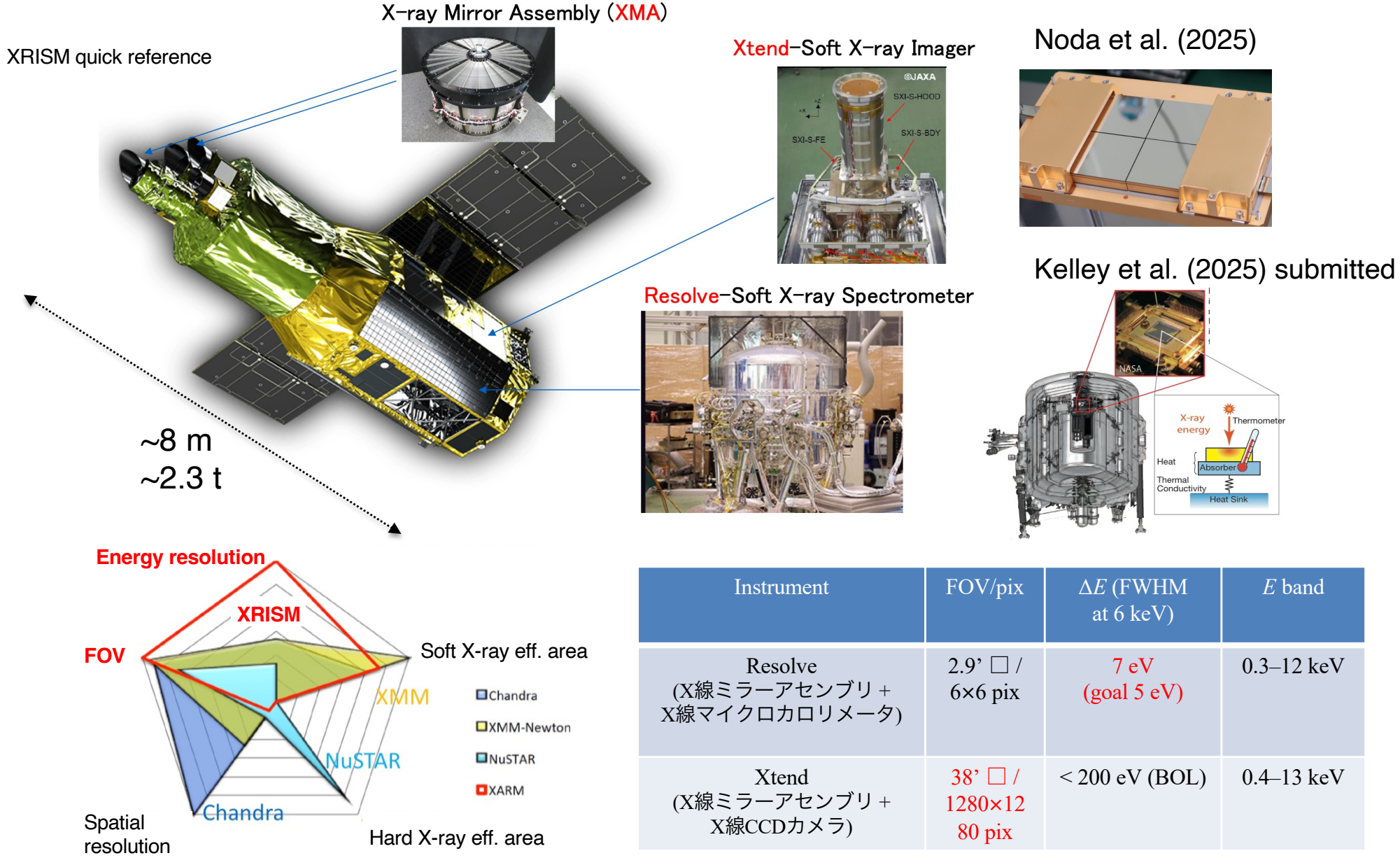
Hitomi collaboration (2016, 2018), Credit: JAXA/Ken Crawford (Rancho Del Sol Observatory)



しかし、打上から約一ヶ月後に姿勢系のトラブル。運用終了となった...

X線天文衛星XRISM

2016年2月17日に打ち上げられ、~1ヶ月で運用できなくなった「ひとみ」 (ASTRO-H) のリカバリーミッション

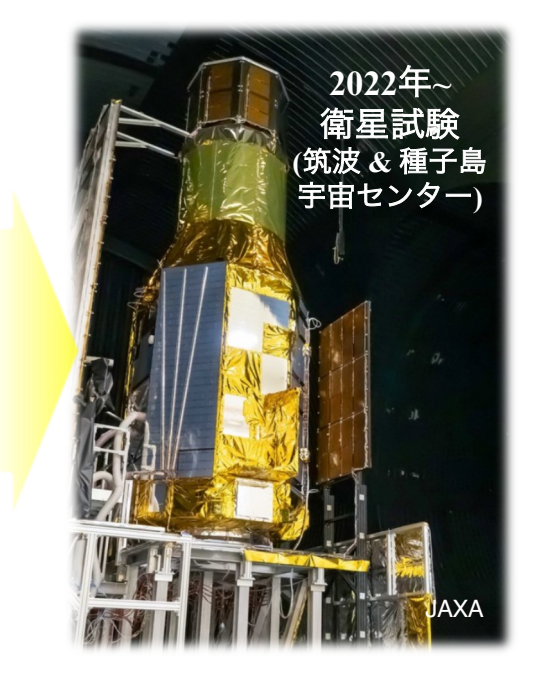


YITP研究会2025

XRISMの開発







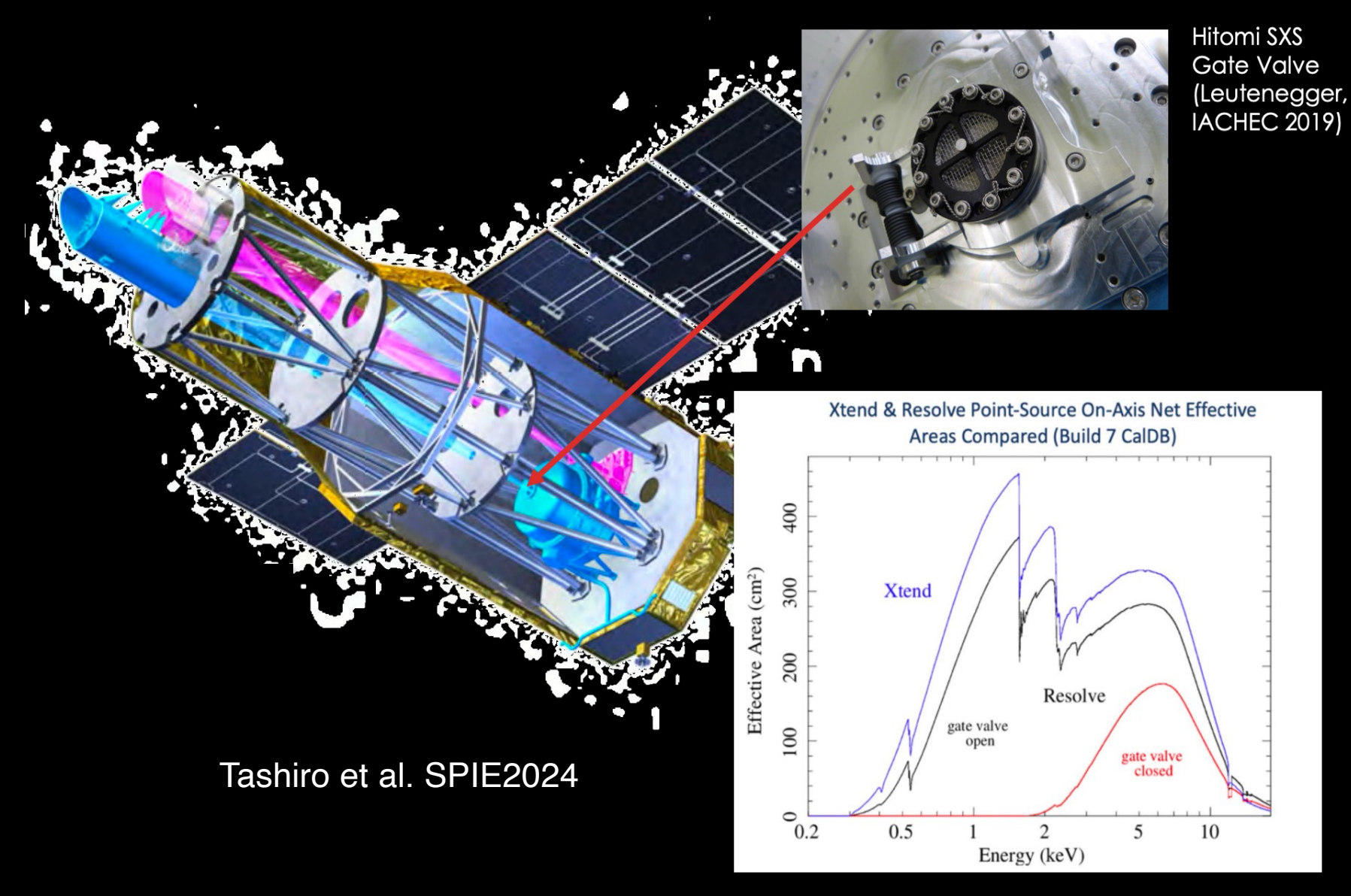






YITP研究会2025

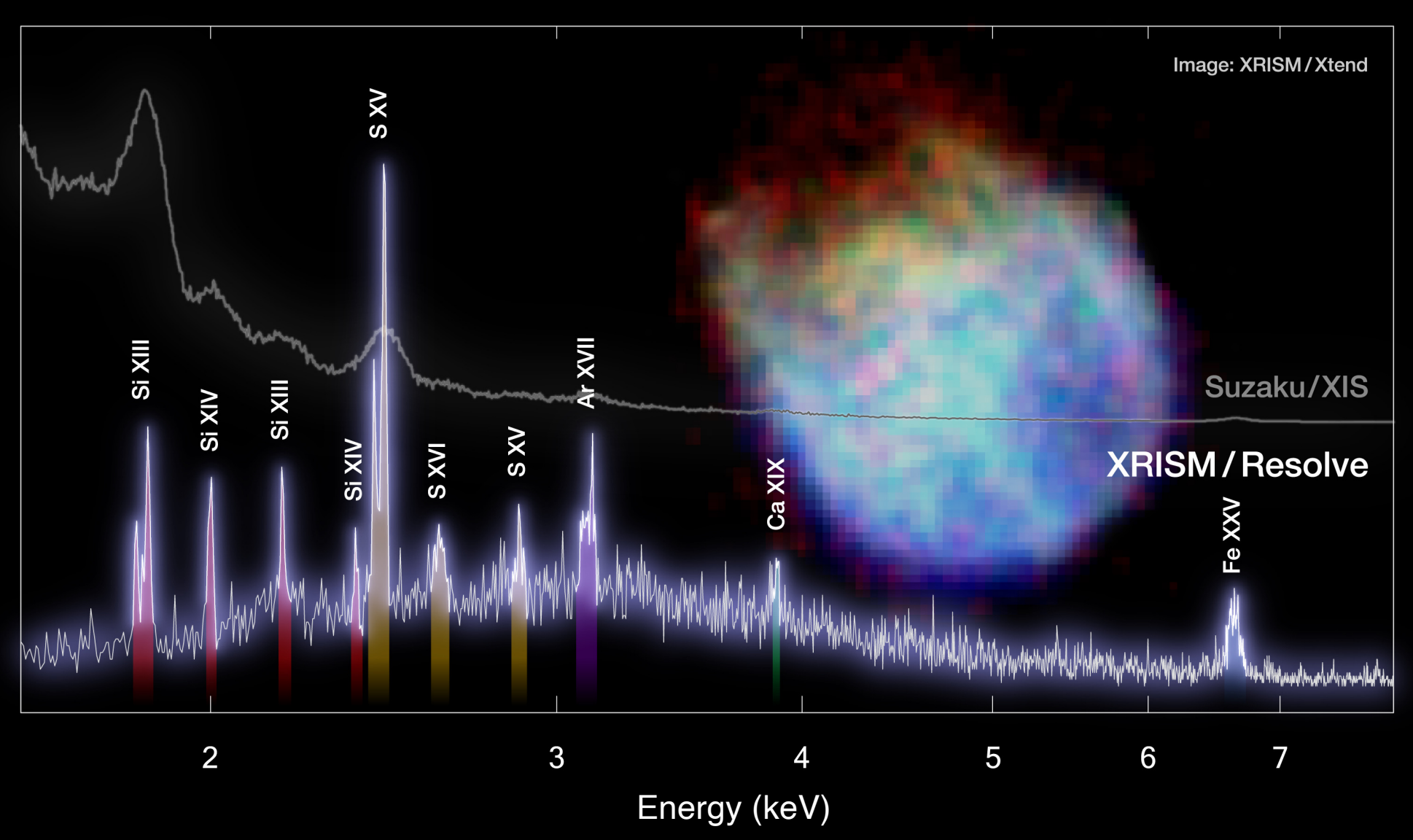
残された軌道上運用



来月、Gate Valve Open 運用を実施予定



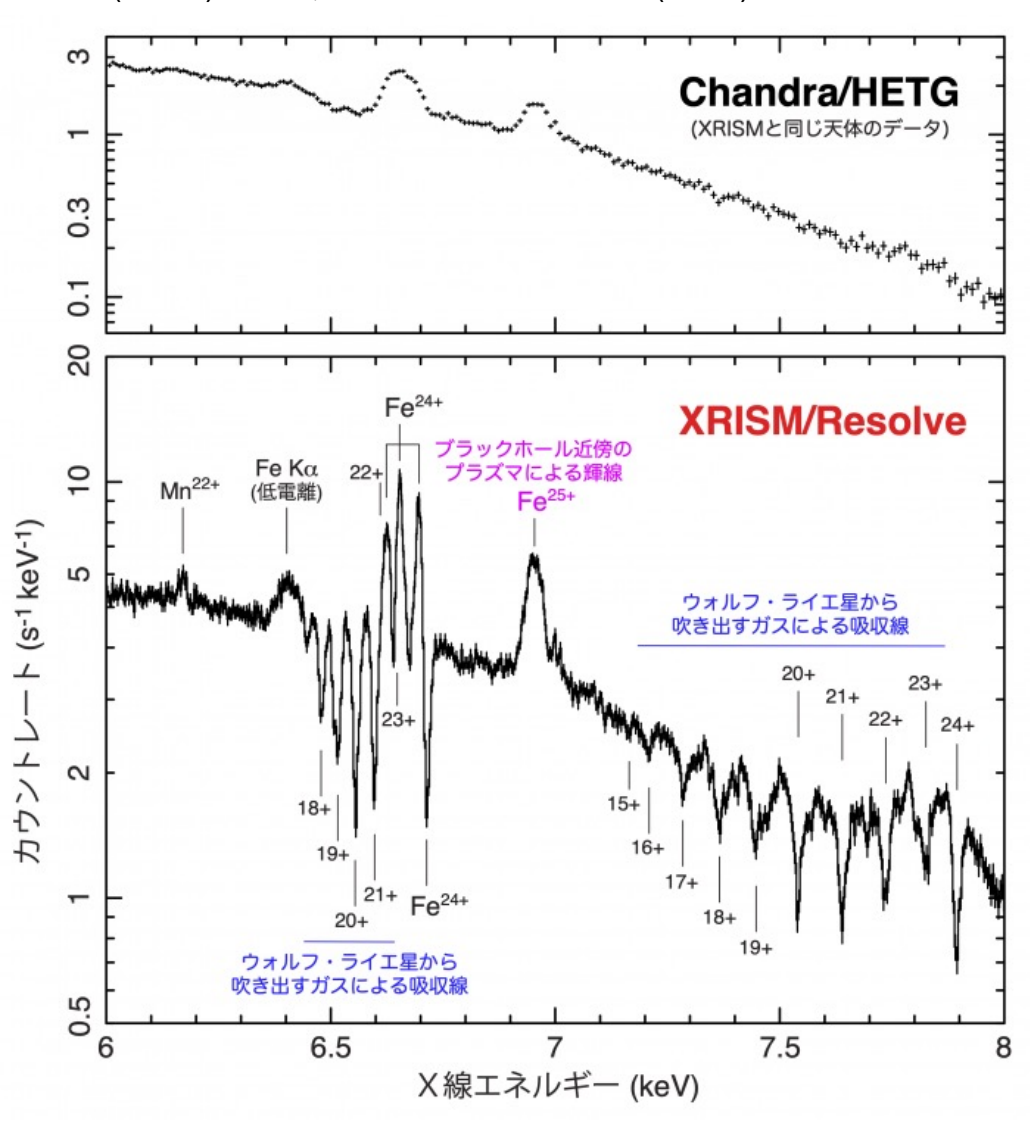
X-ray Spectrum of Supernova Remnant N132D Measured by XRISM Resolve

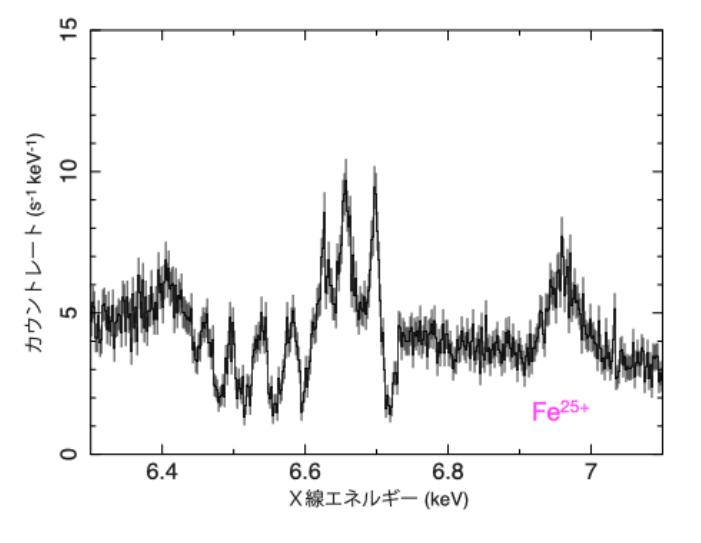


XRISM collaboration (2024)

大質量X線連星 Cygnus X-3

(credit) JAXA, XRISM collaboration (2024)

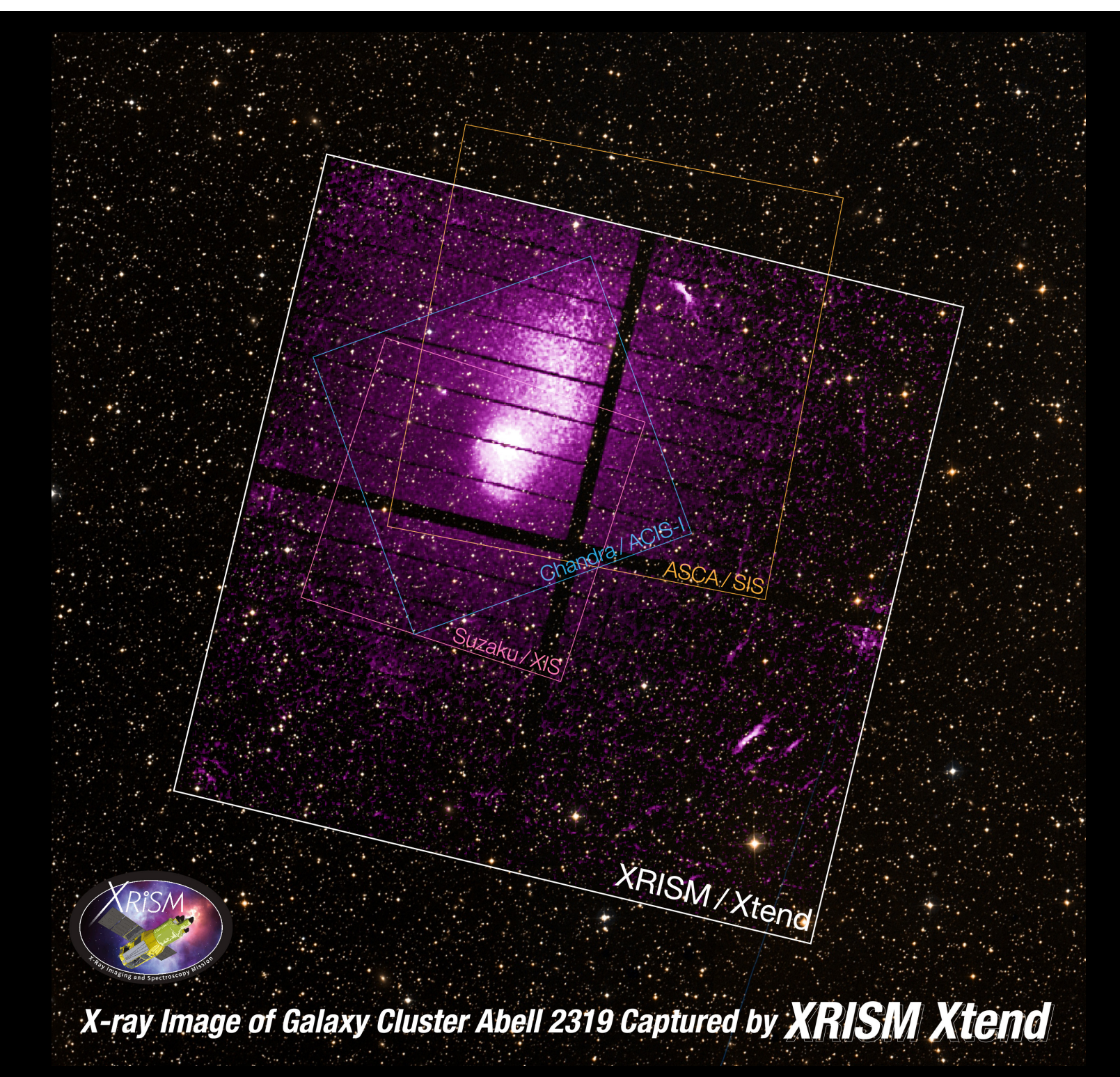




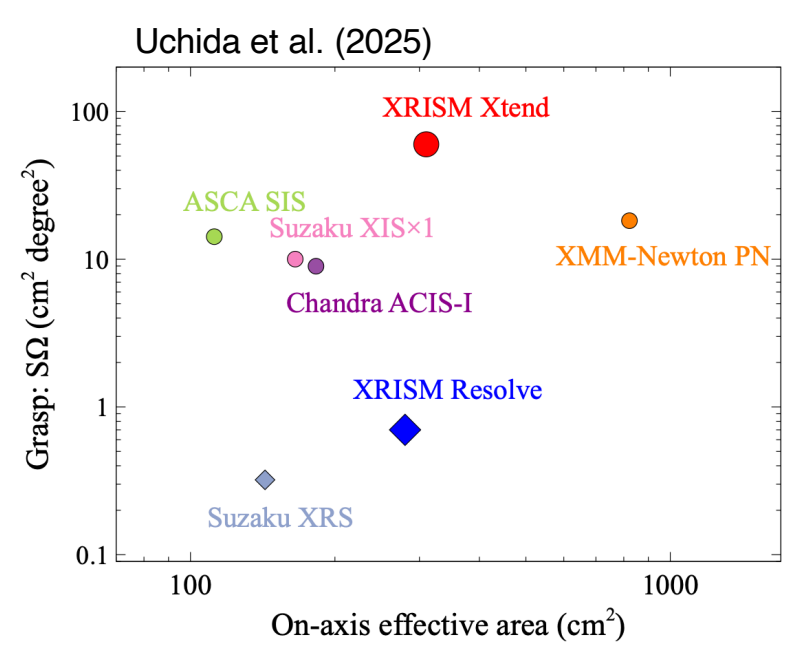




- ☆ 伴星 (Wolf-Tayet) の星風による高階 電離 Fe 輝線・吸収線を精密に分解
- ☆ BH 近傍のプラズマによる Fe XXV の軌道位相変化を捉えることに成功
 - → 速度・密度変化から構造へ

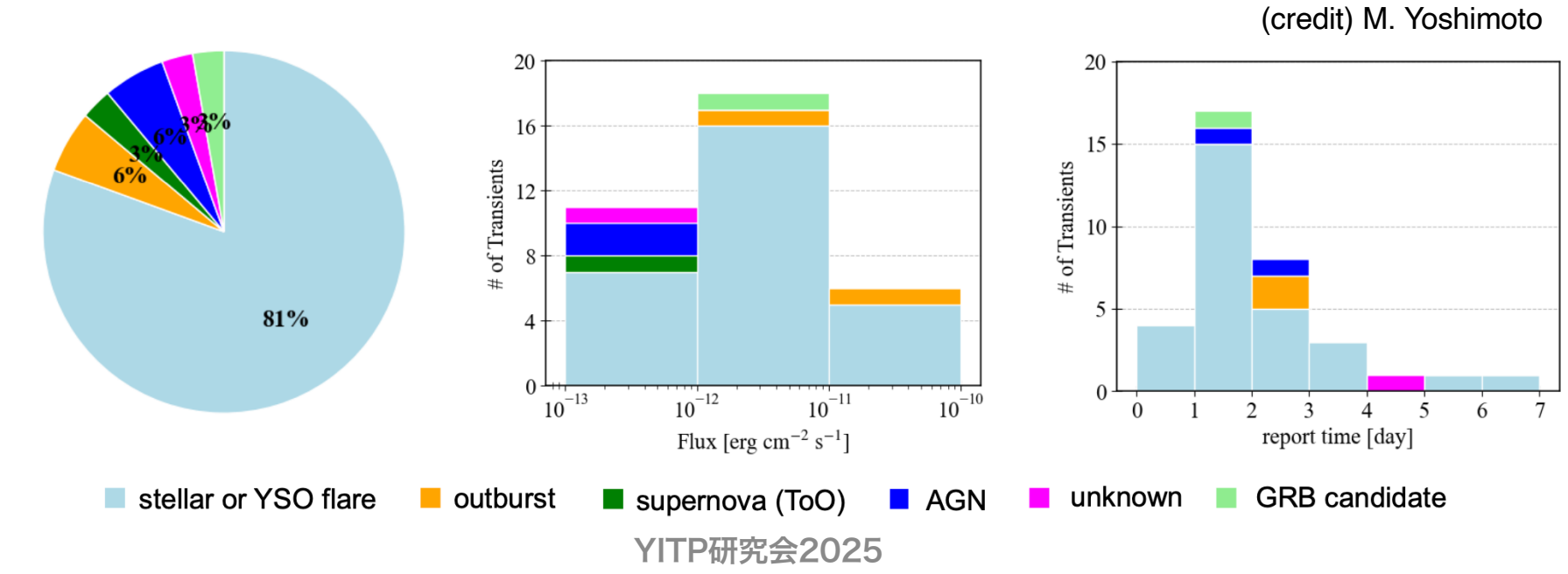


Xtend Transient Search (XTS)



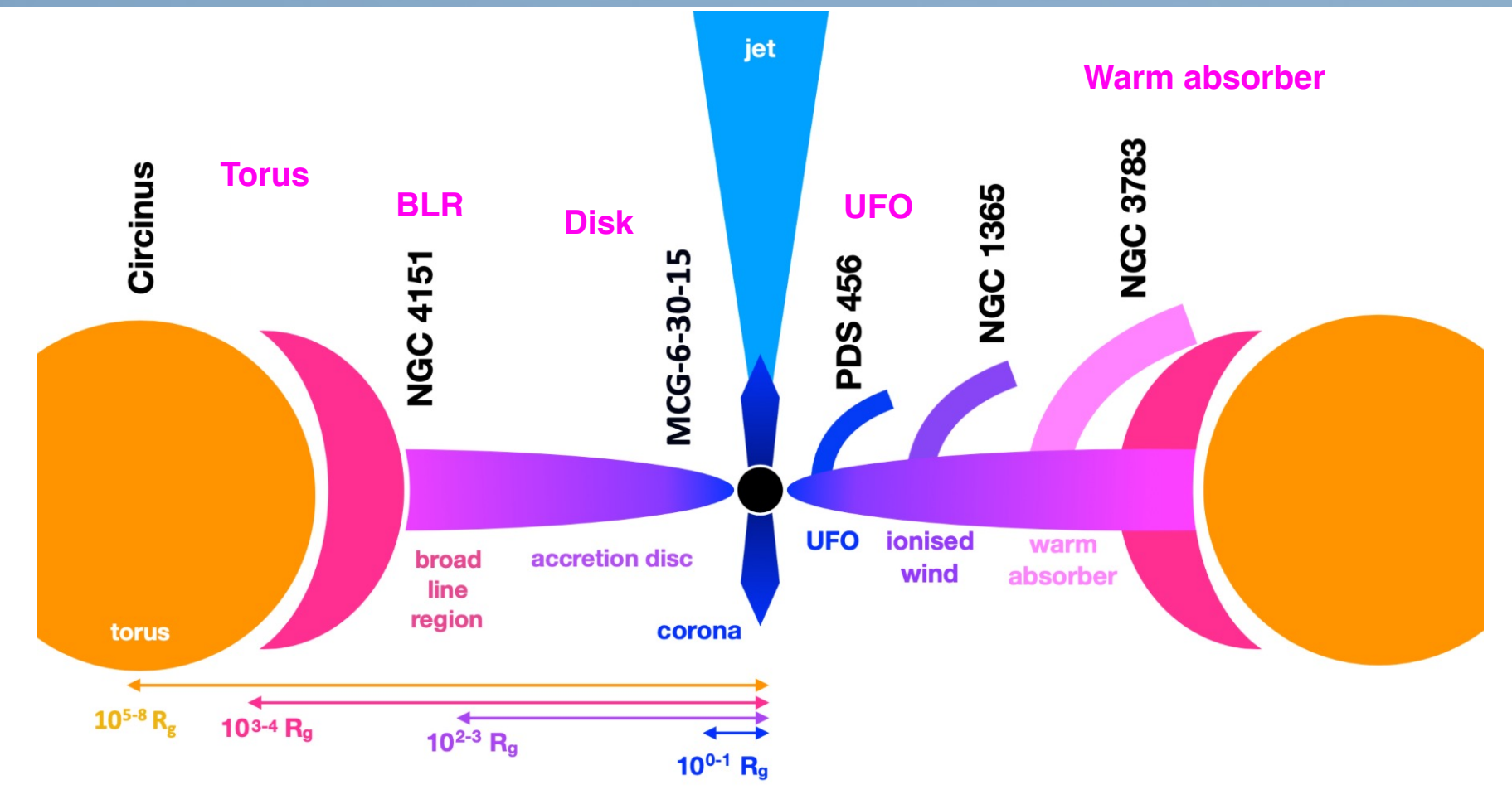
- ★ Xtend は大きな Grasp (= 有効面積 × FOV)。
 XTS チームが ATEL を出す体制を確立
- ★ Xtend FOV で MAXI より ~3桁高い感度 (フレーム時間は 4秒。1回のポインティン グは数日継続することが多い)

時間軸天文学に貢献したい



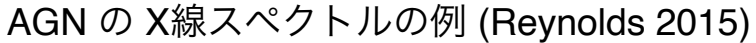
XRISM で探る巨大ブラックホール 降着流・噴出流

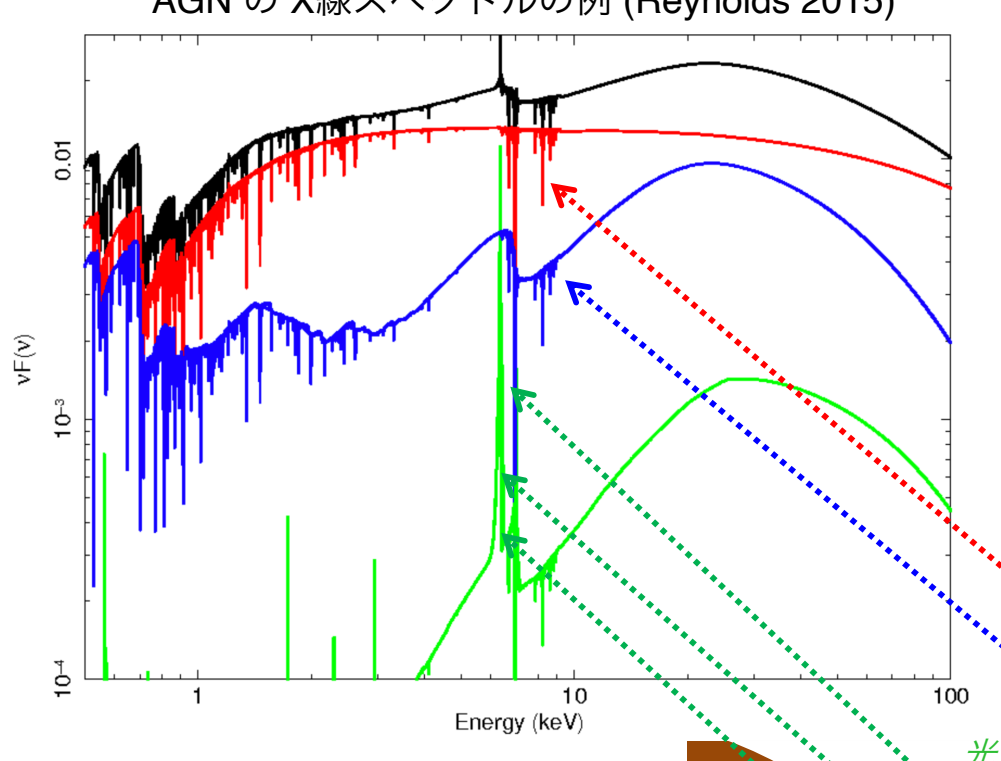
活動銀河核 (AGN) のX線観測に残る重要課題



- 1. 超高速アウトフロー (Ultra-Fast Outflow; UFO) の形成メカニズムは?これら が母銀河に与えるフィードバックは?
- 2. 活動銀河核の広輝線領域やダストトーラスはどう形成されるか?
- 3. 相対論的効果で広がった Fe-Ka 輝線はリアルか? BHスピンの測定は可能か?

X線スペクトルの構成成分



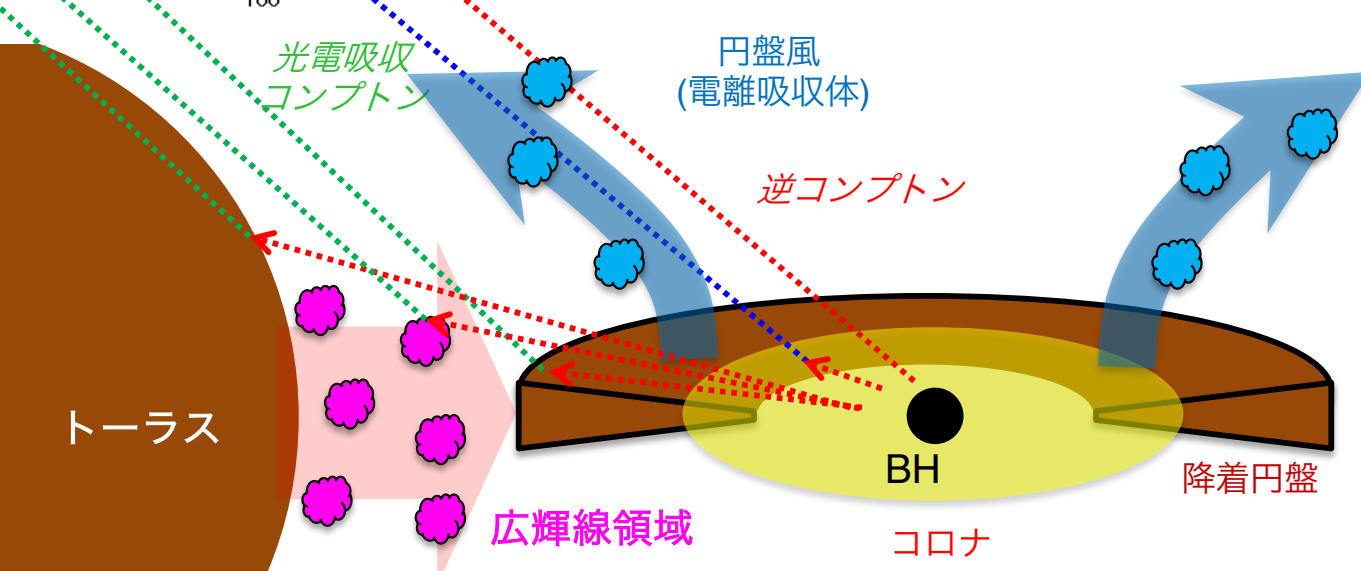


- ☆ 連続X線はブラックホール (BH) 近傍 のコロナによる逆コンプトン散乱過 程で生じる
- ☆ 連続X線は周囲の降着円盤 (AGNならば広輝線領域、ダストトーラス) などの物質で光電吸収・コンプトン散乱
 - → 物理状態を反映した輝線・吸収線

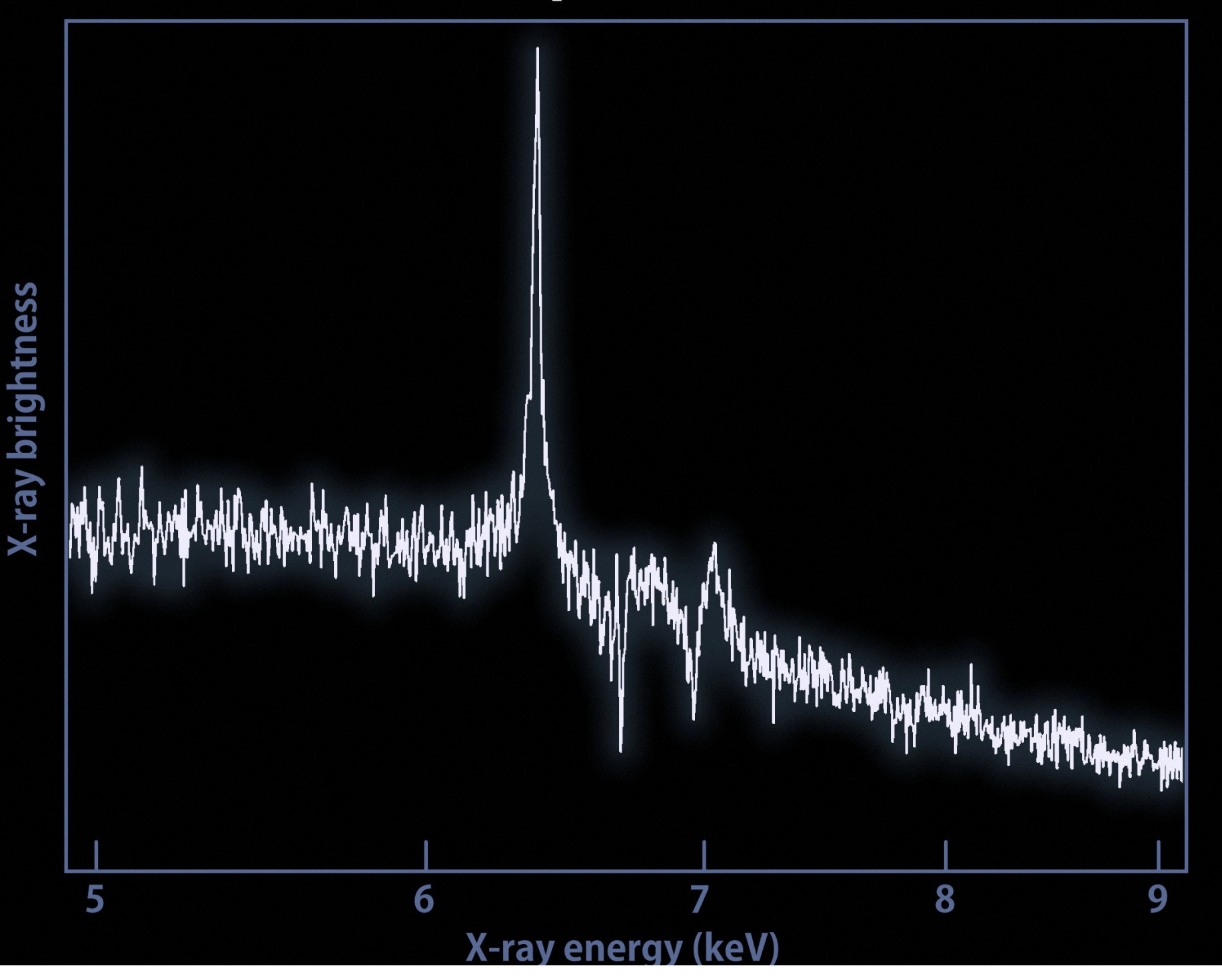
AGNにおけるBH近傍の描像

XRISMは 2 keV以上の ラインの研究に最適

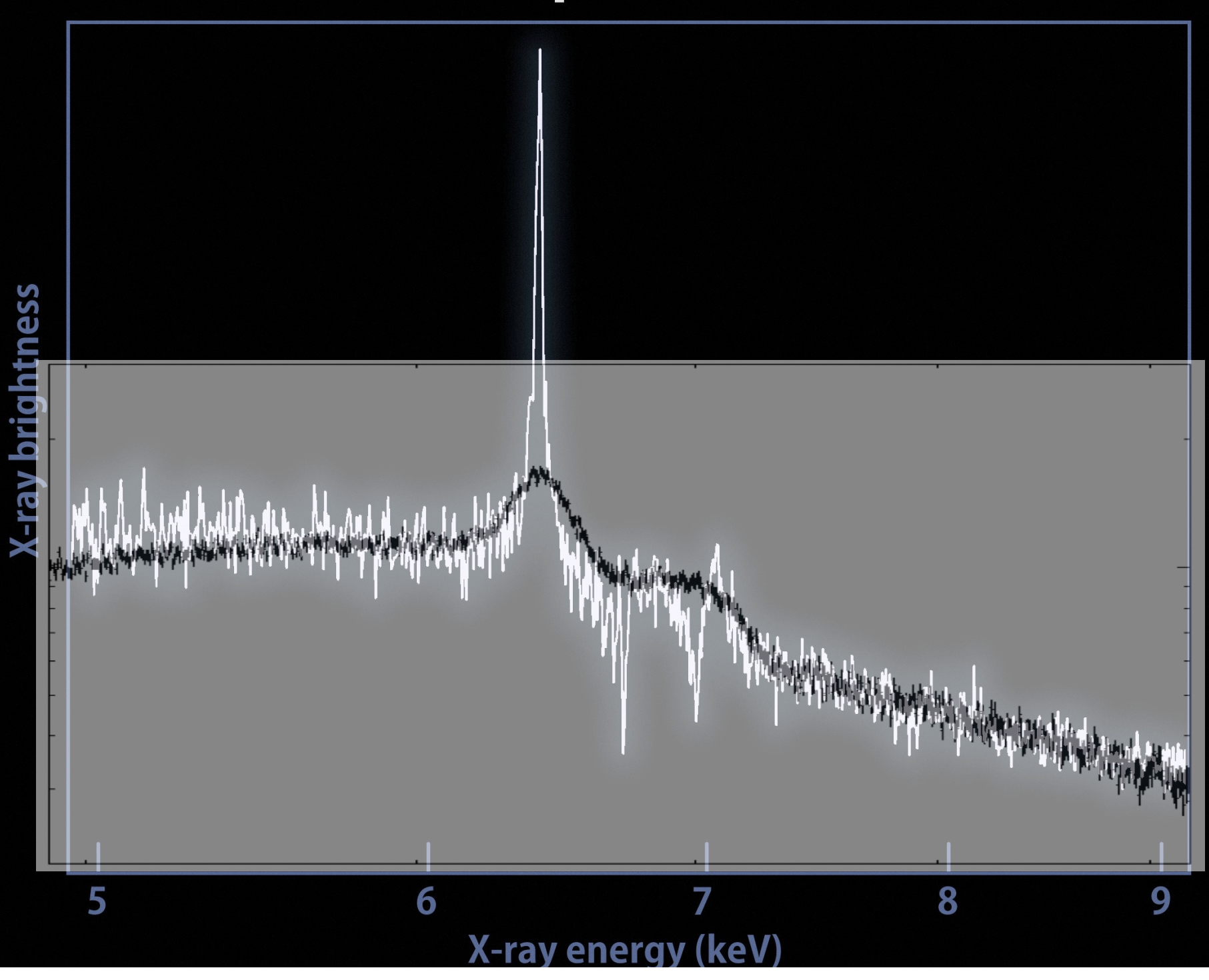
- 中性 (に近い) 物質 によるFe-Ka輝線
- 電離された物質に よる Fe XXV/XXVI 輝線・吸収線



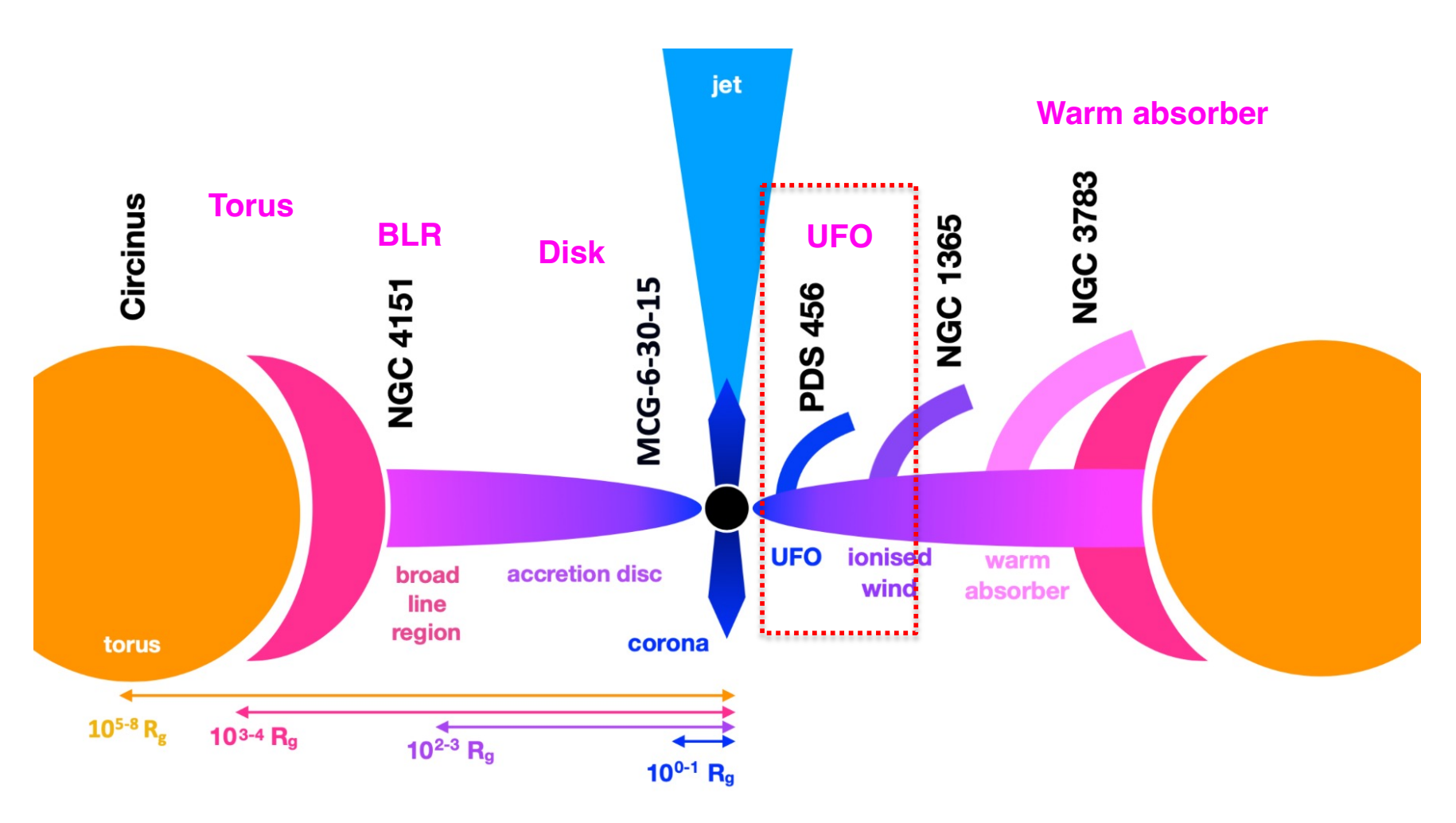
XRISM Resolve Spectrum of NGC 4151



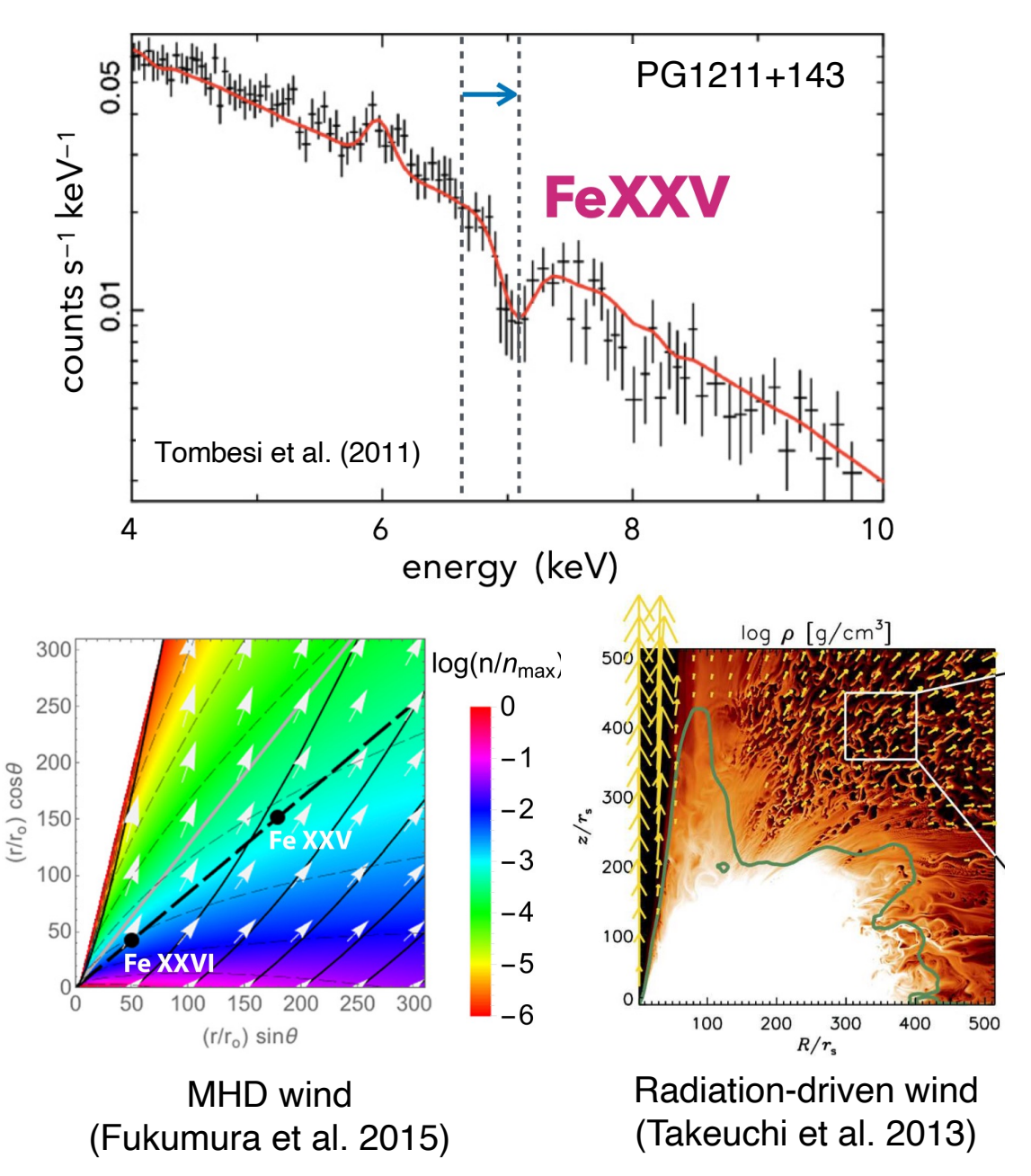
XRISM Resolve Spectrum of NGC 4151



XRISM で探る超高速アウトフロー (UFO)



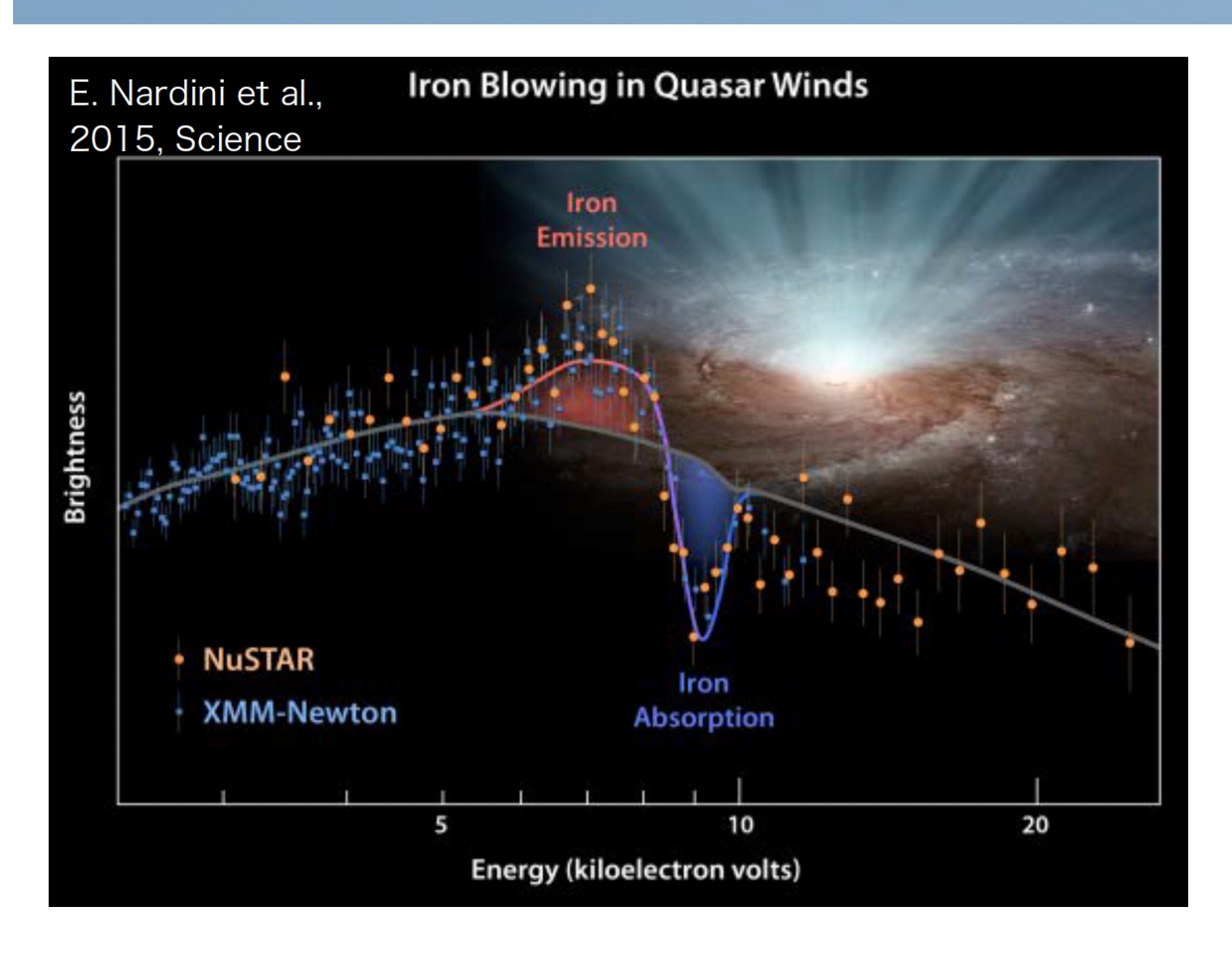
超高速アウトフロー (Ultra-Fast Outflow; UFO)



- ☆ Blueshift した Fe XXV/XXVI 吸収線
- ☆ アウトフロー速度 0.1-0.3c
- ☆ 近傍の AGN の 40% に存在 する報告も (Tombesi et al. 2010; Gofford et al. 2013)
- ☆ 加速メカニズムの候補
 - MHD 駆動 e.g, Fukumura et al. (2015)
 - 輻射駆動
 - 連続放射駆動 e.g., Takeuchi et al. (2013)
 - ライン駆動e.g., Nomura et al. (2020)

YITP研究会2025

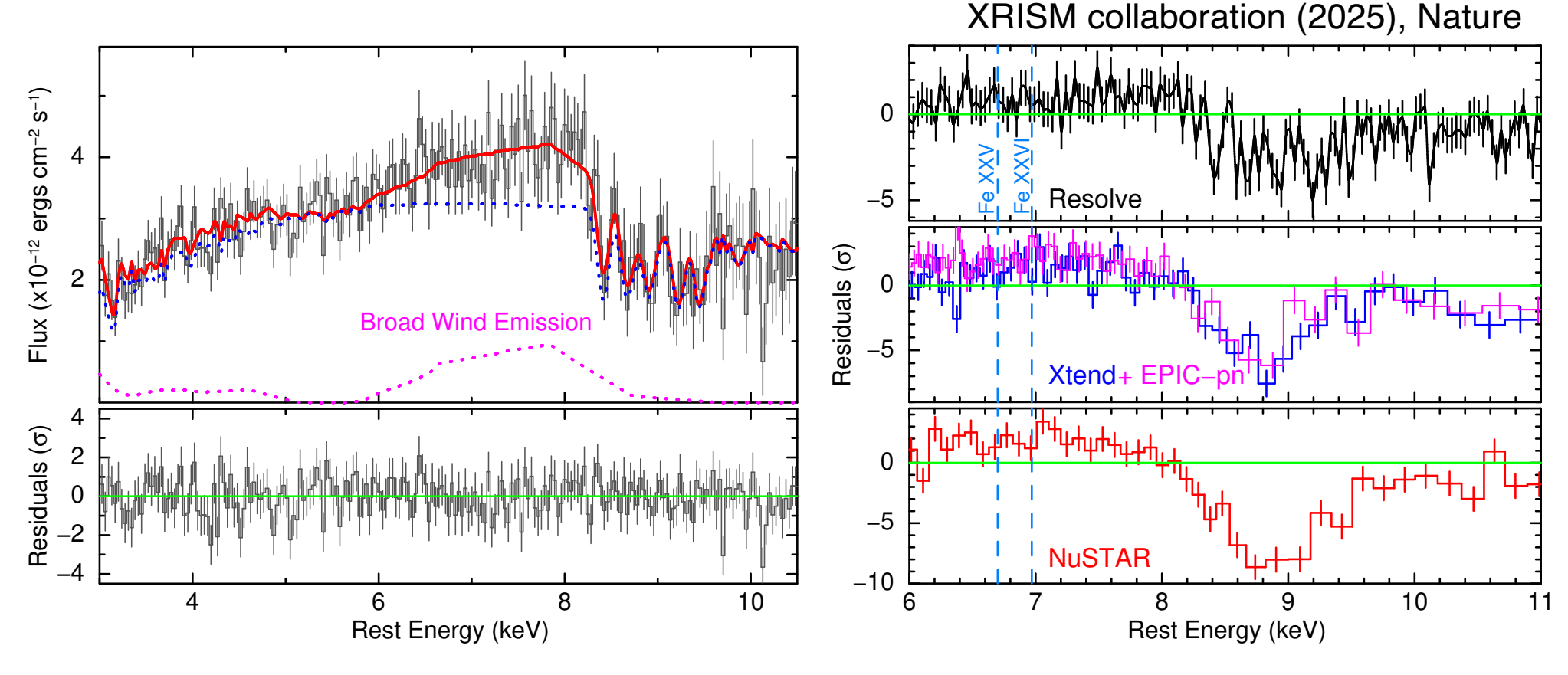
UFO を定常的持つ PDS 456



- ☆ 近傍クエーサー
 - z = 0.184
 - $M_{BH} \sim 10^9 M_{\odot}$
 - L ~ L_{Edd}
- ☆ v ~ 0.3c の UFO が定常的に存在
- ☆ 従来のX線衛星に より広い吸収線& P cygni プロ ファイルが観測

UFO 加速機構や UFO の母銀河への影響を調べるのに適した天体

X線マイクロカロリメータ (Resolve) による結果



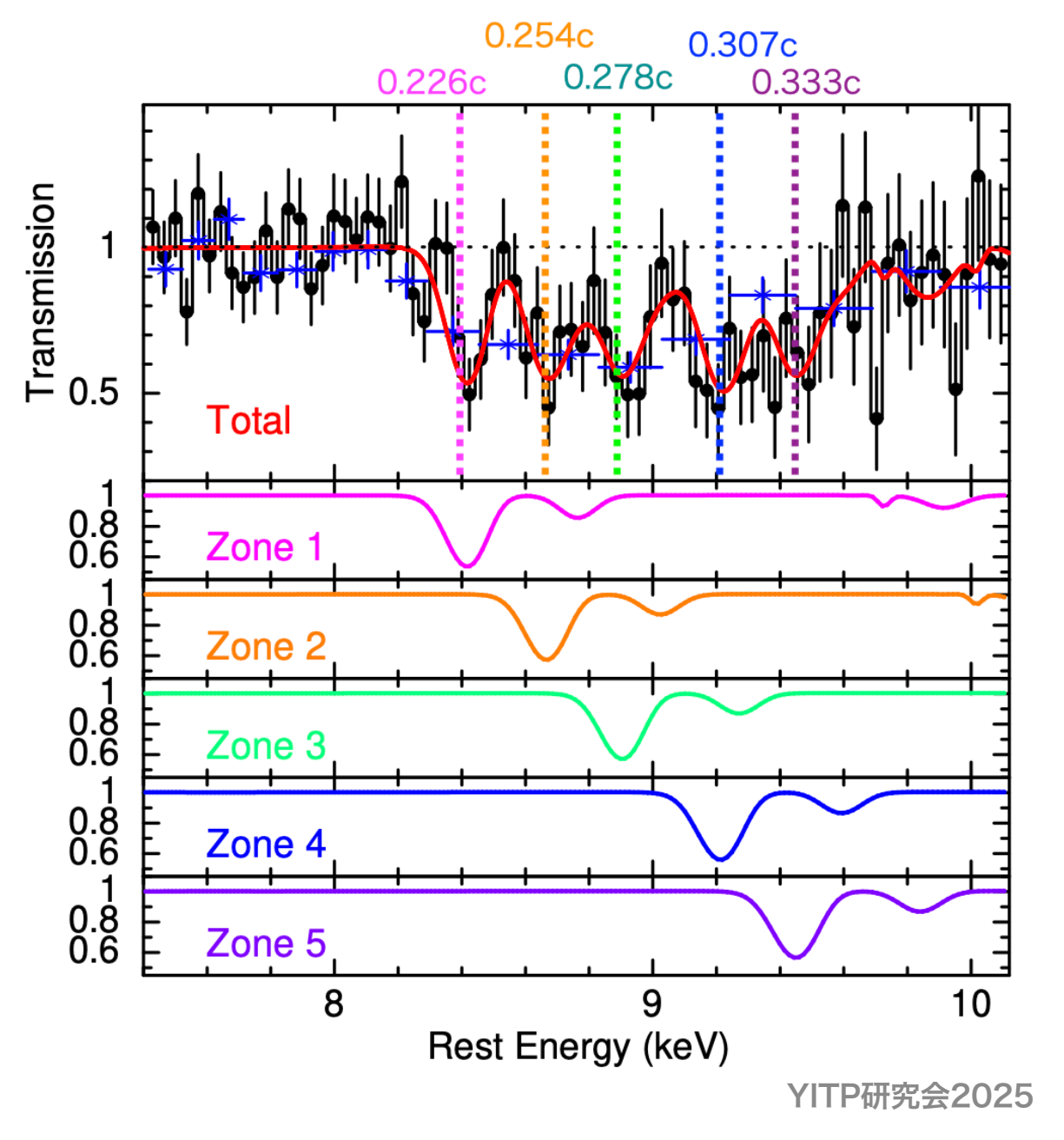
- ☆ 従来の観測では1本の広い吸収構造 → 多数の細い吸収線を分解
- ☆ 単一速度 + 複数の電離状態では解釈できない → Multi-velocity UFO
- ☆ 強い P Cygni emission line が共存 → UFO の立体角 Ω ~ 4π

非一様で clumpy な wind 構造を確認

YITP研究会2025

光電離モデルでのスペクトル解析

XRISM collaboration (2025), Nature



- ☆ 5つの異なる速度の吸収体
- ☆ 電離パラメータξと速度分散 v_{turb} は5つの吸収体間で共通
 - $\log(\xi/\text{erg cm s}^{-1}) \sim 4.90$
 - $V_{turb} \sim 1900 \text{ km/s } (\sigma)$
- ☆ 柱密度 N_H とアウトフロー速度 v は吸収体ごとに独立
 - $N_H = (7.9-13.5) \times 10^{22} \text{ cm}^{-2}$
 - $v \sim (0.226 0.333)c$

クエーサーへの各進化段階を XRISM 観測

IRAS 05189-2524

PDS 456, PG1211+143

(c) Interaction/"Merger"



- now within one halo, galaxies interact & lose angular momentum
- SFR starts to increase
- stellar winds dominate feedback
- rarely excite QSOs (only special orbits)

(b) "Small Group"

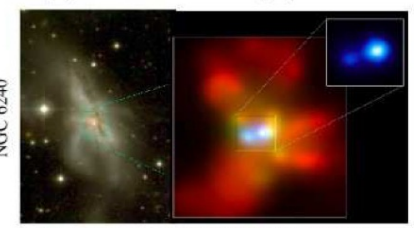


- halo accretes similar-mass companion(s)
- can occur over a wide mass range
- Mhalo still similar to before: dynamical friction merges the subhalos efficiently



- halo & disk grow, most stars formed
- secular growth builds bars & pseudobulges
- "Seyfert" fueling (AGN with MB>-23)
- cannot redden to the red sequence

(d) Coalescence/(U)LIRG



- galaxies coalesce: violent relaxation in core
- gas inflows to center:

-2

1000

100

 $[M_{\odot} \text{ yr}^{-1}]$

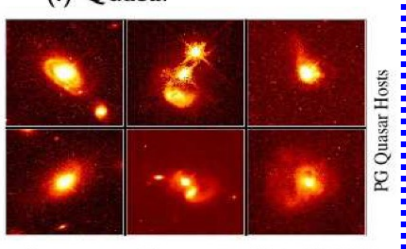
starburst & buried (X-ray) AGN - starburst dominates luminosity/feedback, but, total stellar mass formed is small

(e) "Blowout"



- BH grows rapidly: briefly dominates luminosity/feedback
- remaining dust/gas expelled
- get reddened (but not Type II) QSO: recent/ongoing SF in host high Eddington ratios merger signatures still visible

(f) Quasar



- dust removed: now a "traditional" QSO
- host morphology difficult to observe: tidal features fade rapidly
- characteristically blue/young spheroid

(g) Decay/K+A



NGC 7252

- QSO luminosity fades rapidly
- tidal features visible only with very deep observations
- remnant reddens rapidly (E+A/K+A)
- "hot halo" from feedback - sets up quasi-static cooling

(a) Isolated Disk



Hopkins et al. (2008)

Time (Relative to Merger) [Gyr]

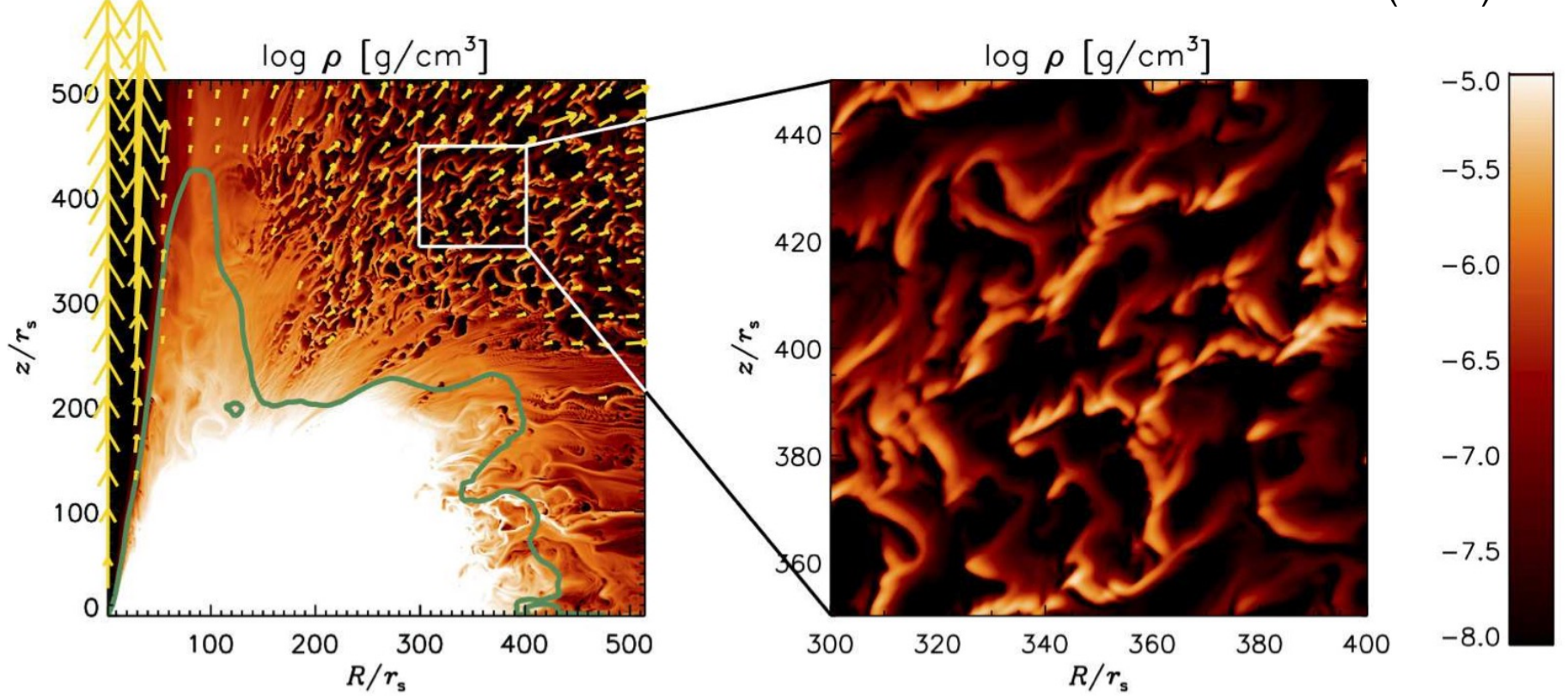
(h) "Dead" Elliptical



- star formation terminated
- large BH/spheroid efficient feedback
- halo grows to "large group" scales: mergers become inefficient
- growth by "dry" mergers

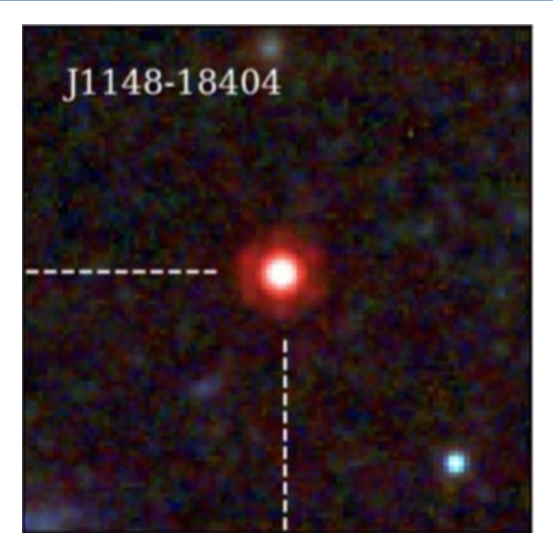
Multi-Velocity UFO の形成メカニズム

Takeuchi et al. (2013)

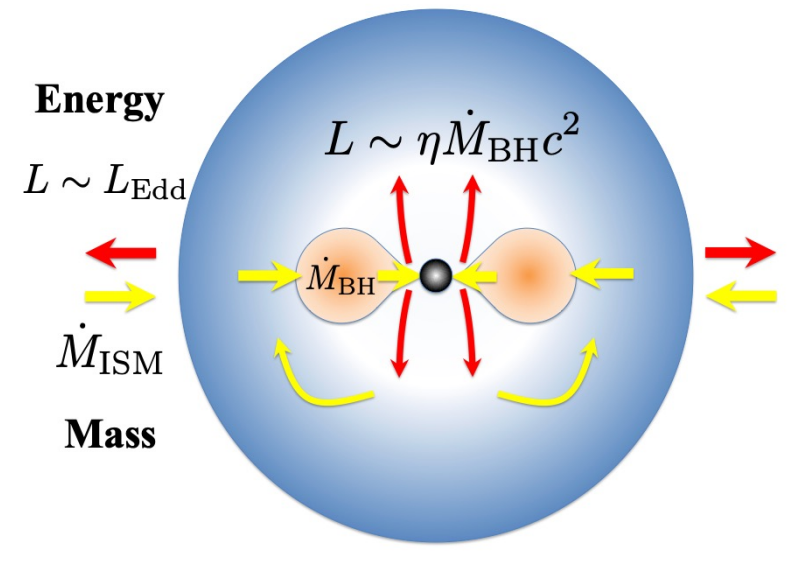


- ☆ 2D 輻射磁気流体シミュレーション では、super Eddington で 輻射駆動でクランピーな UFO が予想 (e.g., Takeuchi et al. 2013)
- ☆ 予想されるクランプサイズ & 場所が XRISM の観測と近い
- → 輻射駆動と無矛盾。MHD 駆動の寄与がどの程度かは今後の課題

High-z との関連 ~Little Red Dots~



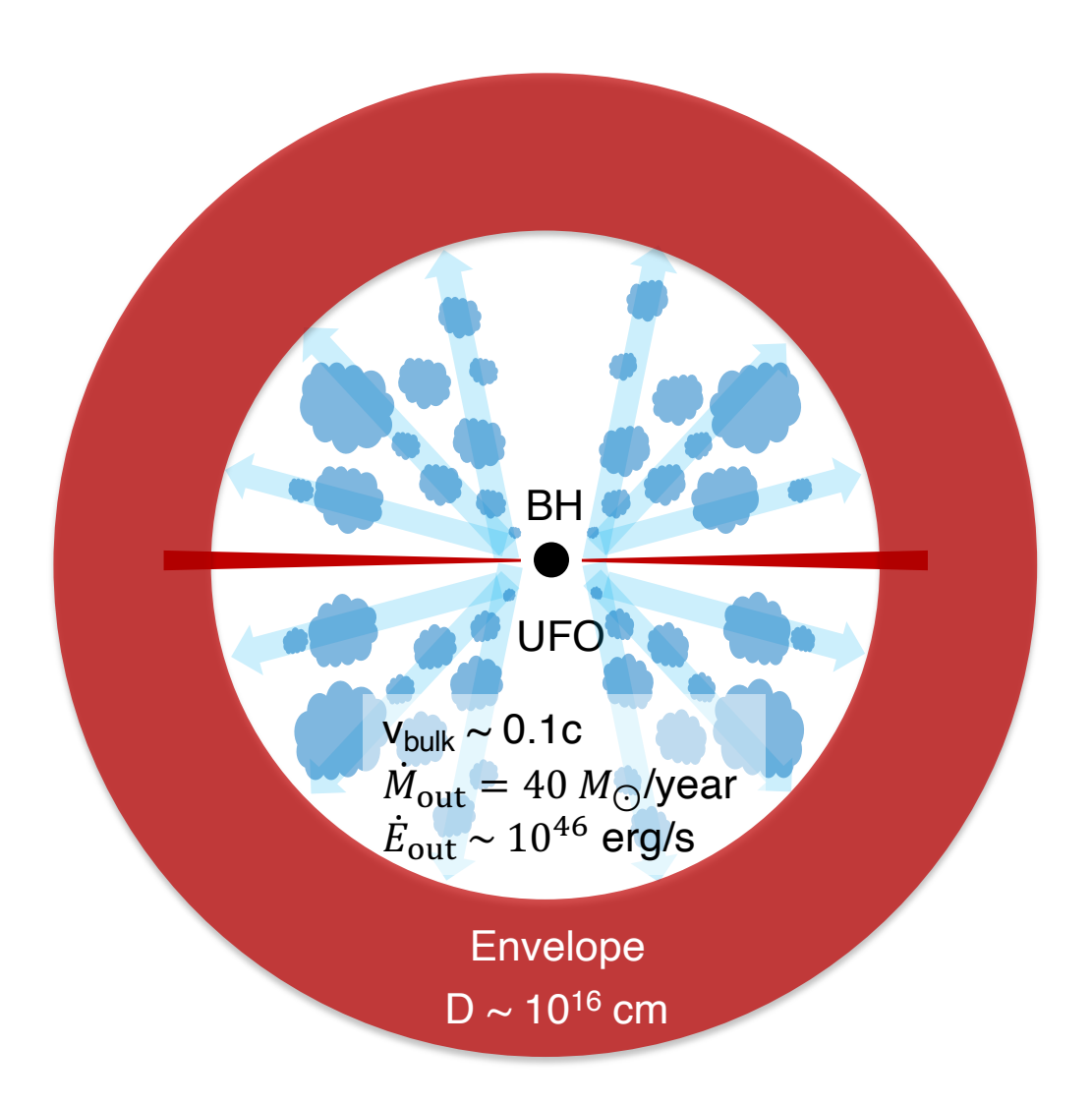
Matthee et al. (2024)



Kido et al. (2025)

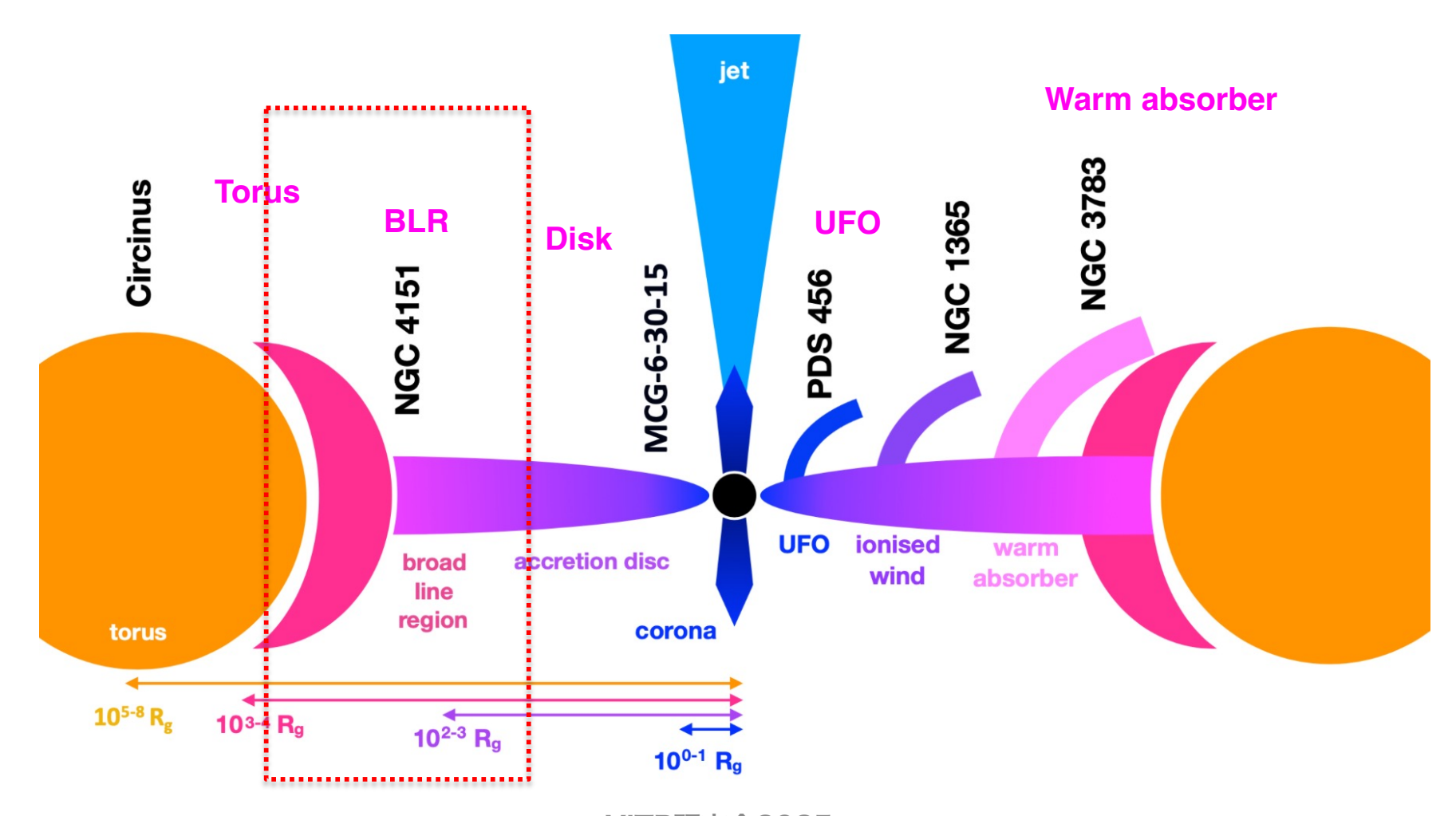
- ☆ JWST により多数の Little Red Dots 発見
 - Redshift z > 4
 - Compact size ~100 pc
 - SED V-shape
 - Broad lines v ~ 1000 km/s
 - Very weak X-ray/radio
 - Low variability
- ☆ BH super-Eddington accretion を封じ込める光学的に厚い envelope (BH star) で説明 (Kido et al. 2025; Inayoshi 2025)
 - → 詳しくは稲吉さんトーク

XRISM で捉えた UFO は BH star と整合的か?



- ☆ PDS 456、IRAS 05189-2524 はと もに、super-Eddington source
- ☆ XRISM 観測により、BH への super-Eddington accretion が起こると Multi-velocity UFO が形成されると判明
 - Ω ~ 4π
 - $v_{\text{bulk}} \sim 0.1c$
 - $\dot{E}_{\rm out} \sim 10^{46}$ erg/s (~ 5 $L_{\rm Edd}$)
- ☆ 内側からの強力な UFO に晒される状況で、BH star envelope を維持できるのか?

XRISMで探る降着流~広輝線領域&ダストトーラスの構造~



広輝線領域の形成メカニズム

BLR 形成メカニズムの候補 (Czerny 2019)

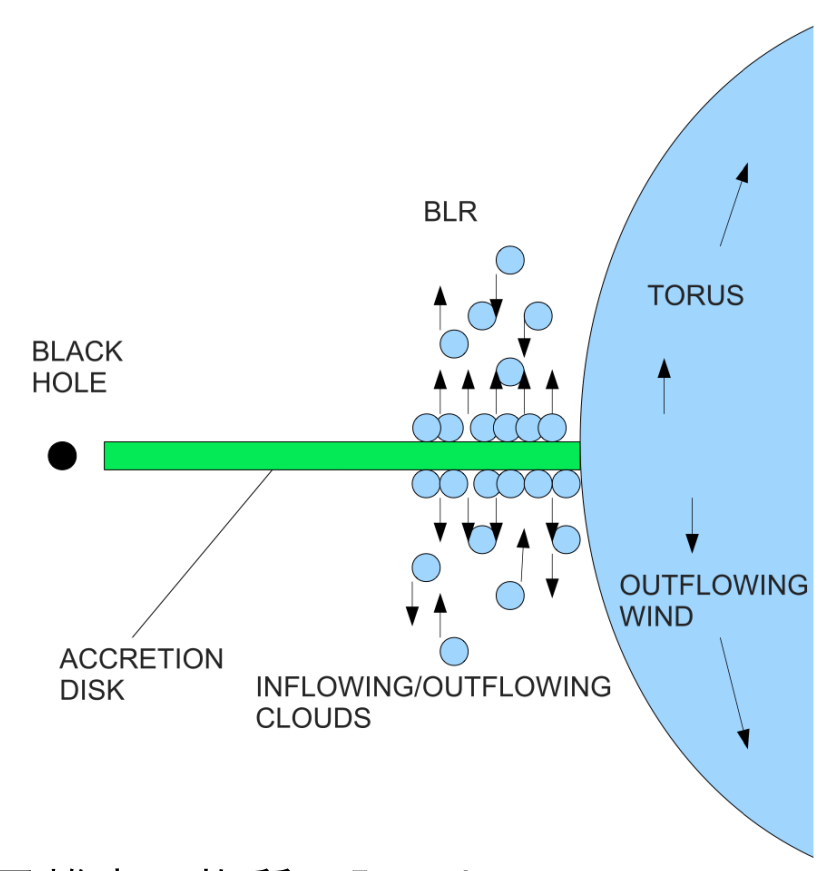
インフロー的

- ① 円盤分裂 + 星形成・超新星爆発 (e.g., Wang et al. 2011)
- ② 外側の領域からのインフロー (e.g., Hu et al. 2008)

アウトフロー的

- ③ 輻射圧による円盤大気上昇 (e.g., Baskin & Laor 2019)
- ④ 輻射圧による円盤風 (e.g., Czerny & Hryniewicz 2011)

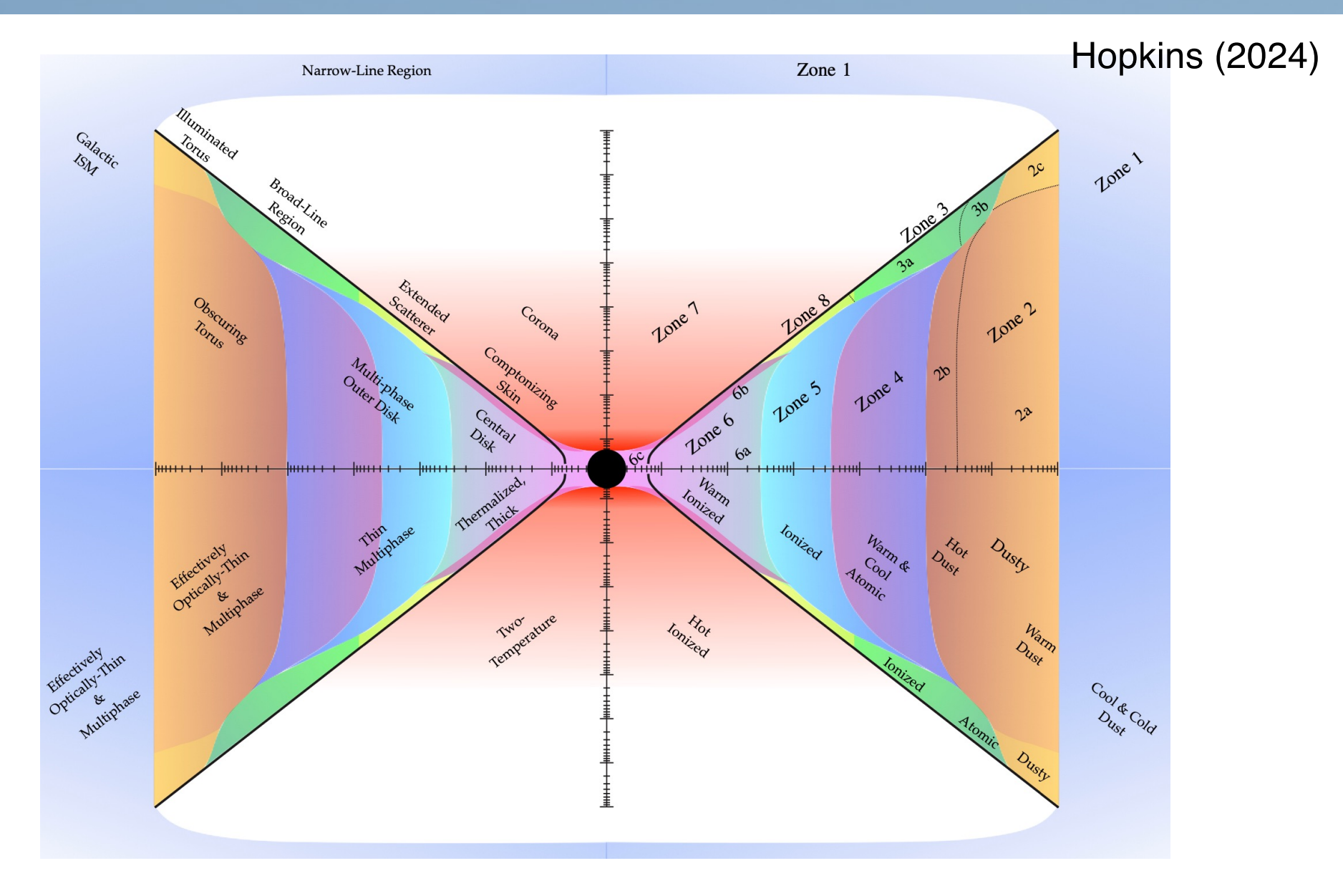
Czerny & Hryniewicz (2011)



可視光・紫外線広輝線は、特定の電離度の物質に限られる...

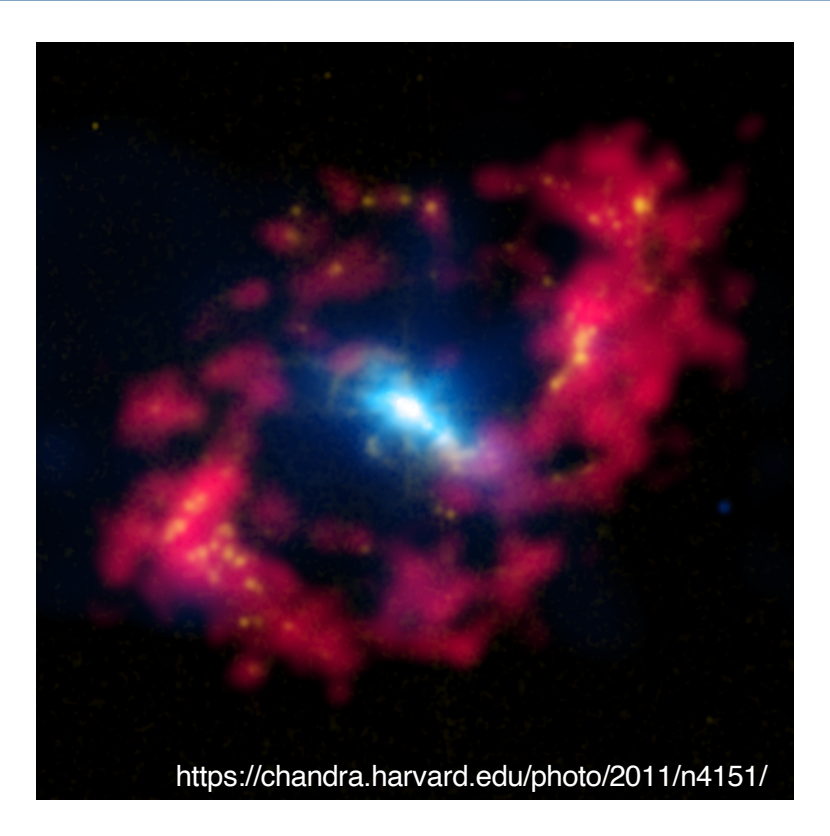
広輝線を出す領域の内側/外側に物質分布があっても同定できない

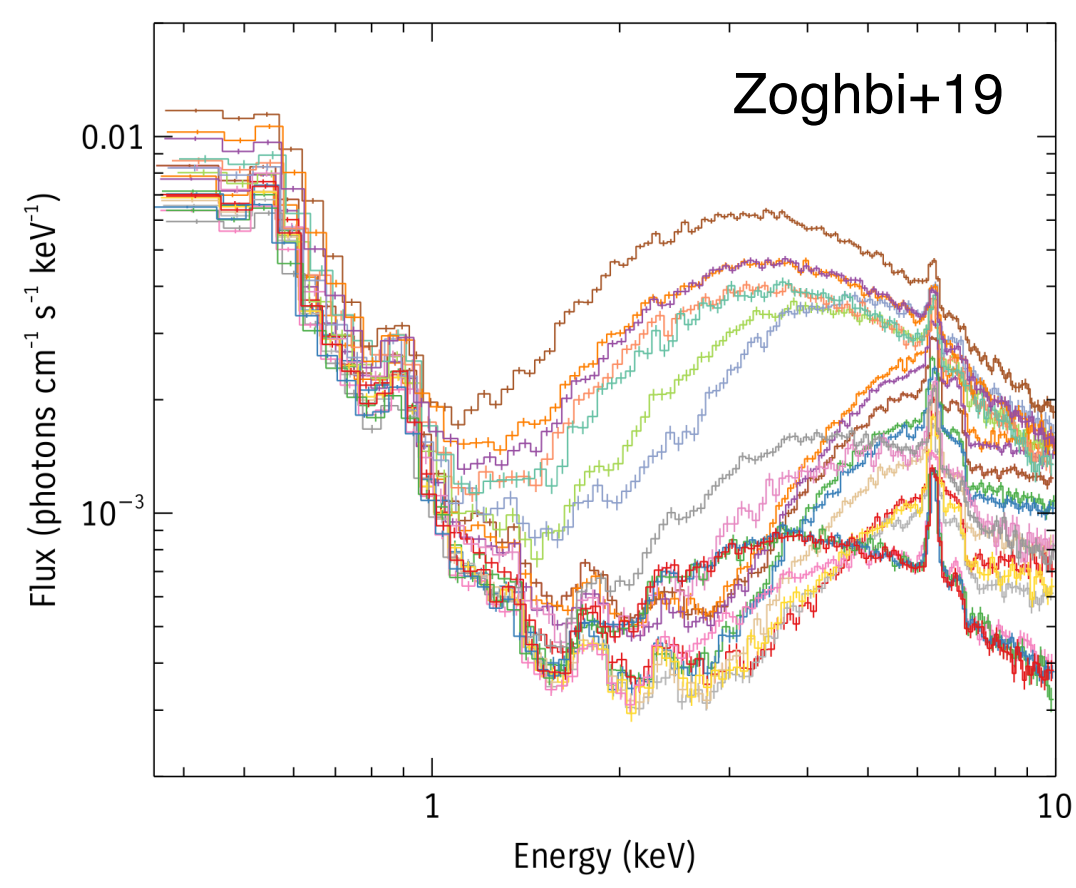
Hyper-Magnetize Accretion Disk モデル



最近は、銀河から BH まで連続的に物質が分布するモデルも YITP研究会2025

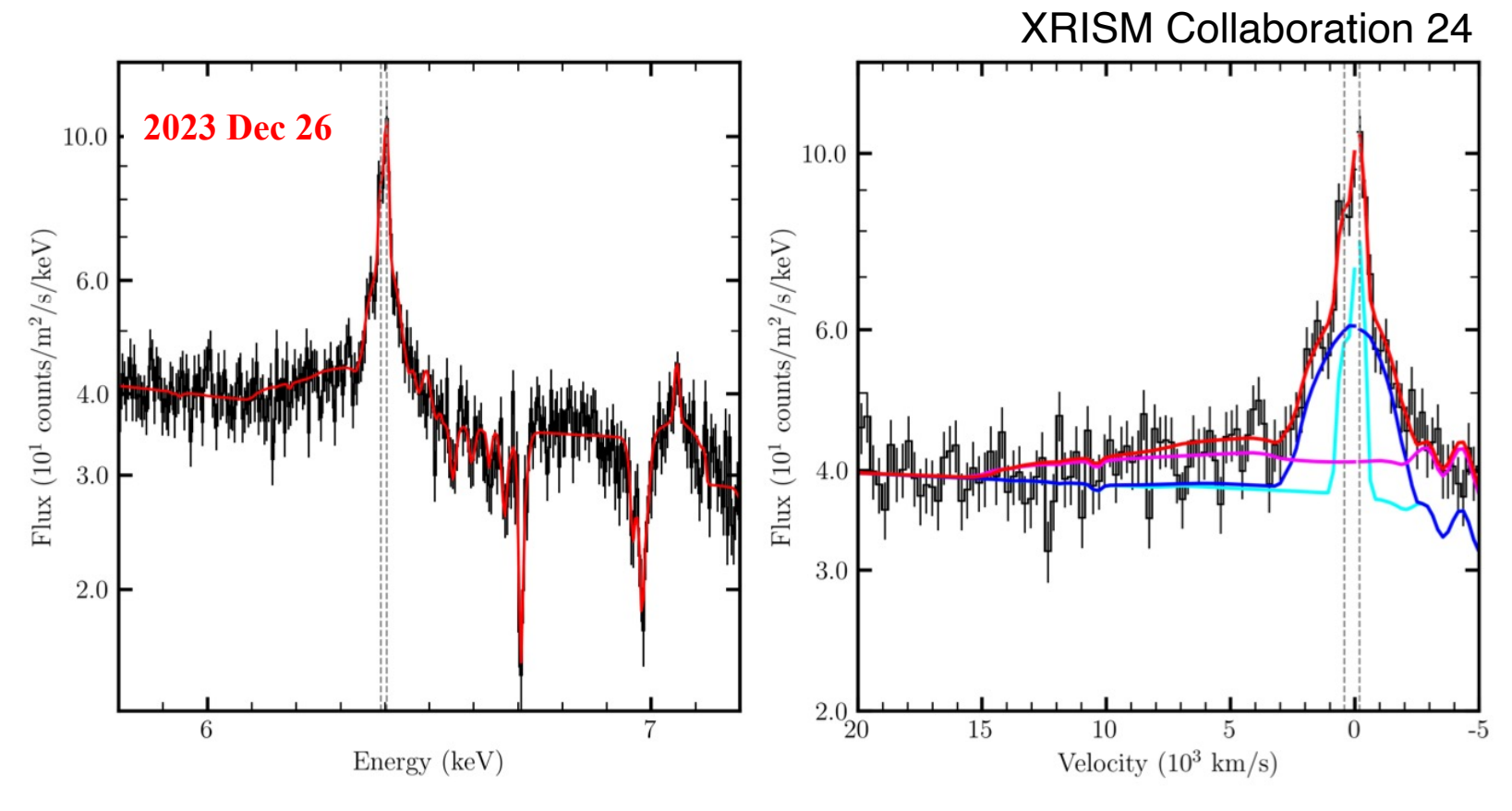
明るいAGN NGC 4151





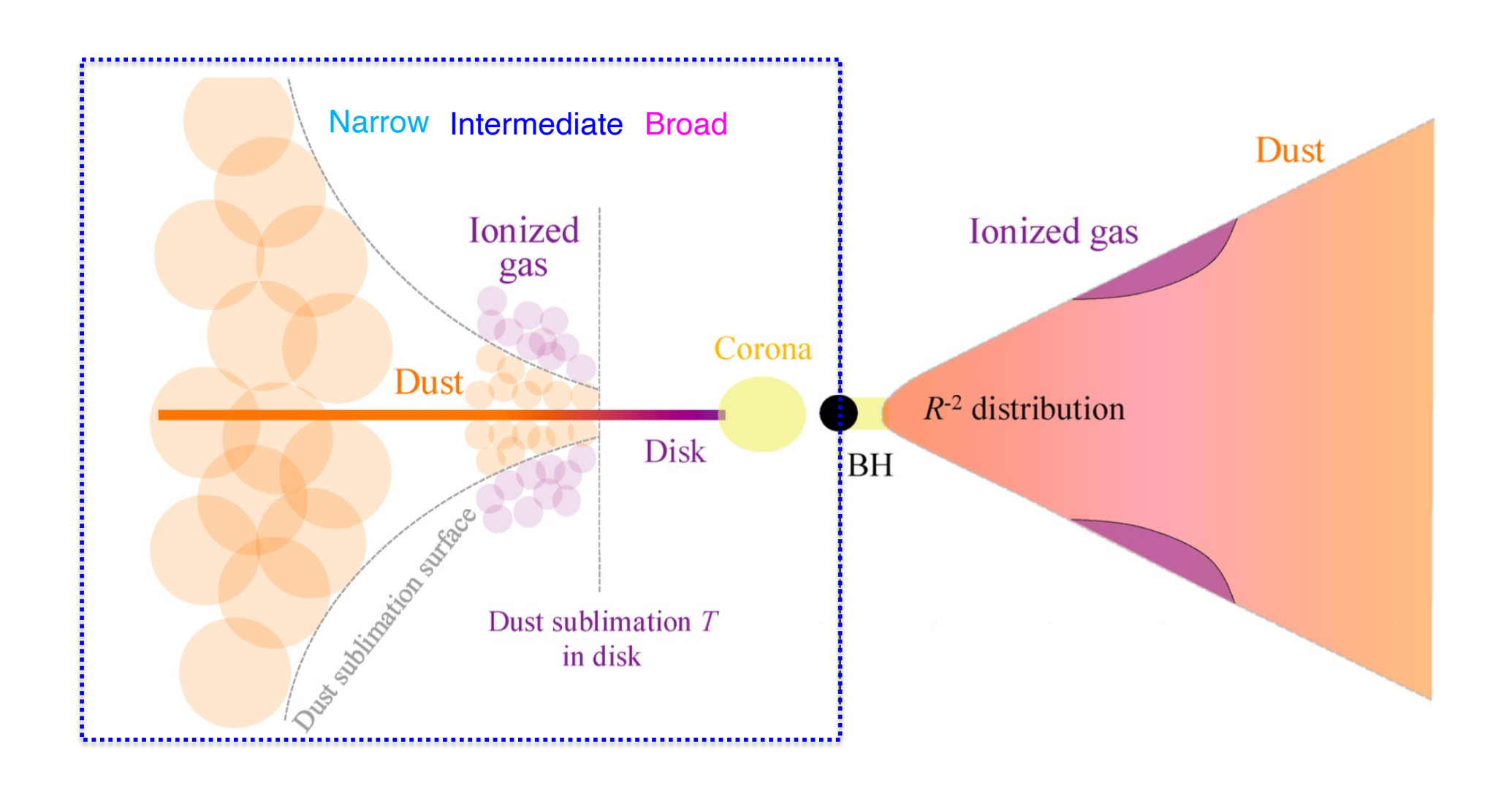
- ☆ 近傍の1.5型セイファート (D = 15.8 Mpc, z = 0.0033)
- ☆ ブラックホール質量 *M*_{BH}~3.3 × 10⁷ *M*_● (Bentz+15)
- ☆ X線で明るく軟X線で高い変動性、6.4 keV の Fe-Ka 輝線も強い

Resolveスペクトル解析の結果



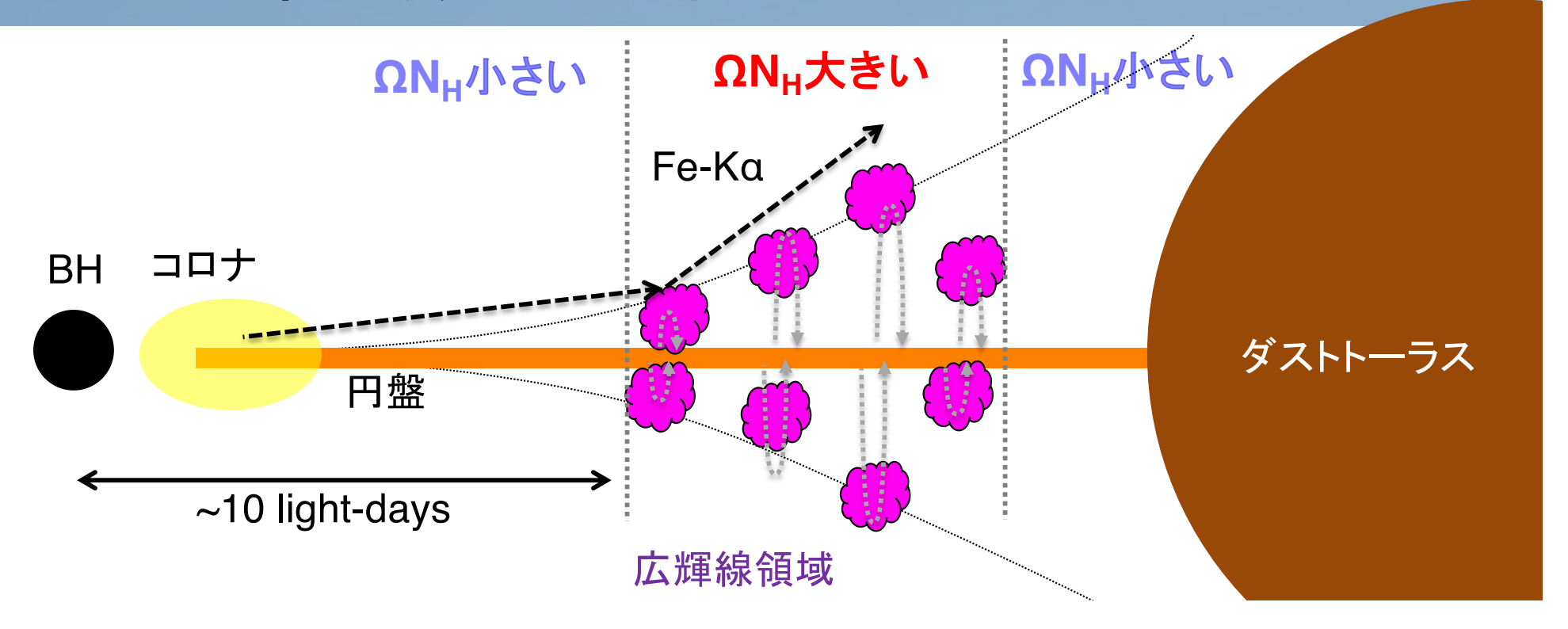
- ☆ 細い Fe-Ka, Kβ 輝線や Fe XXV/XXVI 吸収線を有意に検出
- ☆ 細い Fe-Ka は初めて、少なとも3成分から構成されることが判明
 - Broad → 降着円盤? (~ 100 Rg)
 - Intermediate → 広輝線領域 (~3000 Rg)
 - $narrow \rightarrow$ ダストトーラス (~10000 Rg)

連続的な物質分布では説明不可



トーラスから BH 近傍まで連続的に物質が分布し、電離状態が変化すると解釈するモデルは Fe-Ka が成分に分かれることと不整合

広輝線領域の分布と形成メカニズム



- ☆ Fe-Ka より、広輝線領域の内縁 & 外縁が存在 → 何が境界を決める?
- ☆ 内縁部は Fe-Ka 速度幅 ~ 5000 km/s (FWHM) → R ~ 1×10¹⁶ cm

円盤温度 光度
$$\sigma T^4 = \frac{3GM\dot{M}}{8\pi R^3}$$
 & $L = \frac{GM\dot{M}}{2R_{\rm in}}$ \rightarrow $T = \left(\frac{3LR_{\rm in}}{4\pi R^3\sigma}\right)^{\frac{1}{4}} \sim 1500 \text{ K (}\sim T_{\rm dust}\text{)}$

- ☆ 広輝線領域の内縁半径は、円盤におけるダスト昇華半径に対応
 - →広輝線領域は dusty disk wind 起源? (Czerny & Hryniewcz 2011)

まとめ

- ☆ 2023年9月7日にX線天文衛星 XRISM の打ち上げに成功。
- ☆ X線マイクロカロリメータにより精密X線分光を軌道上で 実現。X線CCD カメラで Transient Search を実施中。
- ☆ 巨大ブラックホール降着流・噴出流で様々な新しい知見。
 - 超高速アウトフロー (Ultra-Fast Outflow; UFO) の形成 メカニズムは?母銀河へのフィードバックは?
 - → High Eddington AGN で強力な multi-velocity UFO
 - AGN の広輝線領域やトーラスはどう形成されるか?
 - → 広輝線領域 + トーラスからの Fe-Ka 成分を分解
 - 相対論的効果で広がった Fe-Kα 輝線はリアルか?
 - → 相対論的に広げられた Fe-Ka を確認